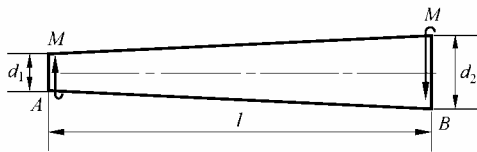


第十二章 能量法（一）

题号	页码
12-2	1
12-3	2
12-4	3
12-5	4
12-6	4
12-8	5
12-9	6
12-10	7
12-12	8
12-14	9
12-15	9
12-16	10
12-17	11
12-18	13
12-21	15
12-23	16
12-24	16
12-26	17
12-28	18
12-29	19
12-30	20
12-31	21
12-33	23
12-34	24
12-36	25
12-38	26
12-40	27

(也可通过左侧的题号书签直接查找题目与解)

12-2 图示变宽度平板，承受轴向载荷 F 作用。试计算板件的总伸长。板件的厚度为 δ ，长度为 l ，左、右端的截面宽度分别为 b_1 与 b_2 ，材料的弹性模量为 E 。



题 12-2 图

解：由题图可知，

$$A(x) = \delta \left(b_1 + \frac{b_2 - b_1}{l} x \right)$$

$$\sigma(x) = \frac{F}{\delta \left(b_1 + \frac{b_2 - b_1}{l} x \right)}$$

$$V_\varepsilon = \int_0^l \frac{\sigma^2(x)}{2E} A(x) dx = \frac{F^2}{2E\delta} \int_0^l \frac{1}{b_1 + \frac{b_2 - b_1}{l} x} dx = \frac{F^2 l}{2E\delta(b_2 - b_1)} \ln \frac{b_2}{b_1}$$

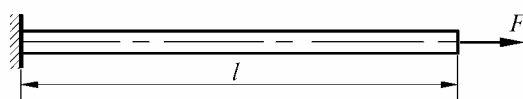
$$W = \frac{1}{2} F \Delta l$$

根据 $W = V_\varepsilon$, 得到

$$\Delta l = \frac{Fl}{E\delta(b_2 - b_1)} \ln \frac{b_2}{b_1}$$

12-3 图示等截面直杆, 承受轴向载荷 F 作用。设杆的横截面面积为 A , 材料的应力 - 应

变关系为 $\sigma = c\sqrt{\varepsilon}$, 其中 c 为已知常数。试计算外力所作之功。



题 12-3 图

解：根据

$$\sigma = \frac{F}{A} , \quad \varepsilon = \frac{\Delta}{l}$$

及

$$\sigma = c\sqrt{\varepsilon}$$

得

$$F = cA\sqrt{\frac{\Delta}{l}}$$

由图 12-3 可知 ,

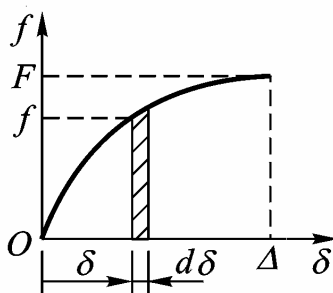


图 12-3

$$dW = fd\delta = cA\sqrt{\frac{\delta}{l}}d\delta$$

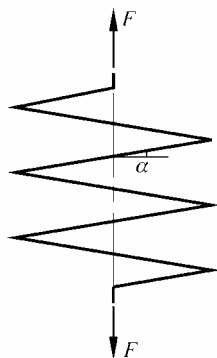
积分得

$$W = \int_0^{\delta} cA\sqrt{\frac{\delta}{l}}d\delta = \frac{2cA}{3\sqrt{l}}\delta^{3/2} = \frac{2F^3l}{3c^2A^2}$$

12-4 图示圆柱形大螺距弹簧，承受轴向拉力 F 作用。试用能量法证明弹簧的轴向变形为

$$\lambda = \frac{8FD^3n}{Gd^4} \left(\cos \alpha + \frac{2G \sin^2 \alpha}{E \cos \alpha} \right)$$

式中： D 为弹簧的平均直径， d 为弹簧丝的直径， n 为弹簧的圈数， α 为螺旋升角， E 为弹性模量， G 为切变模量。



题 12-4 图

解：由截面法可得

$$M(s) = \frac{FD}{2} \sin \alpha, \quad T(s) = \frac{FD}{2} \cos \alpha \quad (\text{a})$$

据能量守恒定律，有

$$W = V_\epsilon \quad (\text{b})$$

其中，

$$W = \frac{F\lambda}{2} \quad (\text{c})$$

而

$$V_\epsilon = \int_0^l \frac{T^2(s)}{2GI_p} ds + \int_0^l \frac{M^2(s)}{2EI} ds \quad (\text{d})$$

式中， l 为簧丝总长，其值为

$$l = \frac{\pi Dn}{\cos \alpha} \quad (\text{e})$$

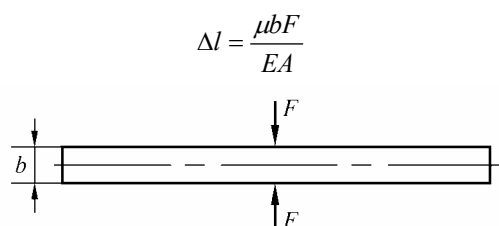
将式 (a) 代入式 (d)，完成积分，并注意到式 (e)，得

$$V_{\varepsilon} = \frac{F^2 D^3 n \pi}{8 G I_p} \left(\cos \alpha + \frac{G I_p \sin^2 \alpha}{E I \cos \alpha} \right) \quad (f)$$

最后，将式 (c) 和 (f) 代入式 (b)，化简后，得

$$\lambda = \frac{8 F D^3 n}{G d^4} \left(\cos \alpha + \frac{2 G \sin^2 \alpha}{E \cos \alpha} \right)$$

12-5 图示等截面直杆，承受一对方向相反、大小均为 F 的横向力作用。设截面宽度为 b 、拉压刚度为 EA ，材料的泊松比为 μ 。试利用功的互等定理，证明杆的轴向变形为



题 12-5 图

解：设该杆两端承受轴向拉力 F_1 作用，依据功的互等定理，有

$$F_1 \cdot \Delta l = F \cdot \left(\frac{\mu F_1 b}{EA} \right)$$

由此得

$$\Delta l = \frac{\mu b F}{EA}$$

12-6 图示纤维增强复合材料，轴 1 沿纤维方向，轴 2 垂直于纤维方向。当正应力 σ_1 单独作用时（图 a），材料沿 1 和 2 方向的正应变分别为

$$\varepsilon_1' = \frac{\sigma_1}{E_1}, \quad \varepsilon_2' = -\frac{\mu_{12} \sigma_1}{E_1}$$

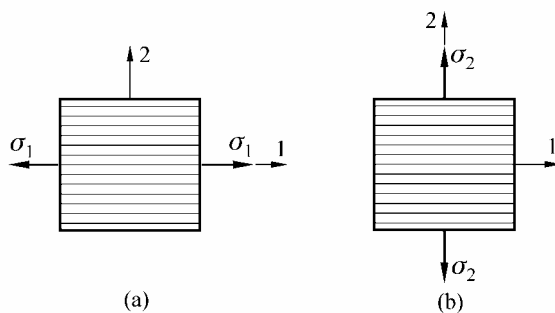
式中， E_1 与 μ_{12} 分别为复合材料的纵向弹性模量与纵向泊松比。当 σ_2 单独作用时（图 b），上述二方向的正应变则分别为

$$\varepsilon_1'' = -\frac{\mu_{21} \sigma_2}{E_2}, \quad \varepsilon_2'' = \frac{\sigma_2}{E_2}$$

式中， E_2 与 μ_{21} 分别为复合材料的横向弹性模量与横向泊松比。试证明：

$$\frac{\mu_{12}}{E_1} = \frac{\mu_{21}}{E_2}$$

即上述四个弹性常数中，只有三个是独立的。



题 12-6 图

解：依据功的互等定理，有

$$\sigma_2 \cdot \varepsilon_2' = \sigma_1 \cdot \varepsilon_1''$$

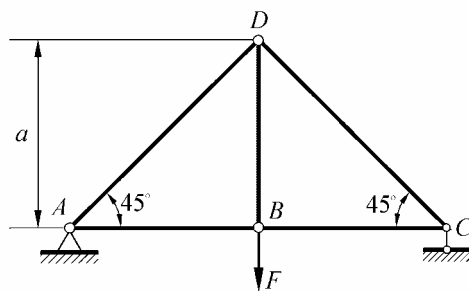
即

$$\sigma_2 \cdot \left(-\frac{\mu_{12}\sigma_1}{E_1}\right) = \sigma_1 \cdot \left(-\frac{\mu_{21}\sigma_2}{E_2}\right)$$

由此得

$$\frac{\mu_{12}}{E_1} = \frac{\mu_{21}}{E_2}$$

12-8 图示桁架，在节点 B 承受载荷 F 作用。试用卡氏定理计算该节点的铅垂位移 Δ_B 。各杆各截面的拉压刚度均为 EA 。



题 12-8 图

解：根据卡氏定理，有

$$\Delta_B = \frac{1}{EA} \sum_{i=1}^5 F_{Ni} l_i \frac{\partial F_{Ni}}{\partial F}$$

各杆编号示如图 12-8。

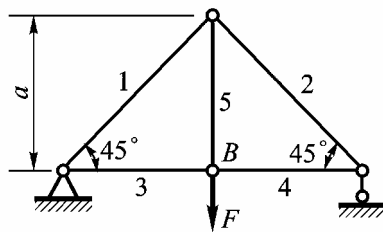


图 12-8

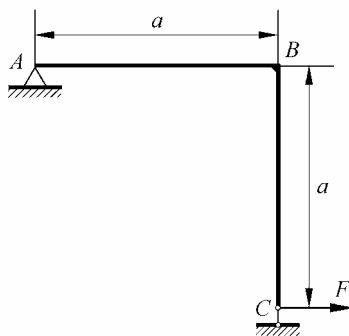
求 Δ_B 的运算过程示如下表：

l	l_i	F_{Ni}	$\frac{\partial F_{Ni}}{\partial F}$	$F_{Ni} l_i \frac{\partial F_{Ni}}{\partial F}$
1	$\sqrt{2}a$	$-\frac{\sqrt{2}}{2}F$	$-\frac{\sqrt{2}}{2}$	$-\frac{\sqrt{2}}{2}Fa$
2	$\sqrt{2}a$	$-\frac{\sqrt{2}}{2}F$	$-\frac{\sqrt{2}}{2}$	$-\frac{\sqrt{2}}{2}Fa$
3	a	$\frac{1}{2}F$	$\frac{1}{2}$	$\frac{1}{4}Fa$
4	a	$\frac{1}{2}F$	$\frac{1}{2}$	$\frac{1}{4}Fa$
5	a	F	1	Fa
Σ				$\frac{3+2\sqrt{2}}{2}Fa$

由此得

$$\Delta_B = \frac{(3+2\sqrt{2})Fa}{2EA} \quad ()$$

12-9 图示刚架，承受载荷 F 作用。试用卡氏定理计算截面 C 的转角。设弯曲刚度 EI 为常数。



题 12-9 图

解：在截面 C 处假想附加一矩为 M_C 的力偶（见图 12-9），由图可得

$$M(x_1) = (F + \frac{M_C}{a})x_1, \quad \frac{\partial M(x_1)}{\partial M_C} = \frac{x_1}{a}$$

$$M(x_2) = Fx_2 + M_C, \quad \frac{\partial M(x_2)}{\partial M_C} = 1$$

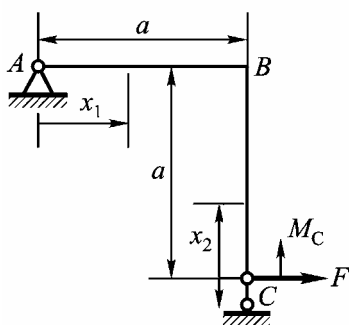
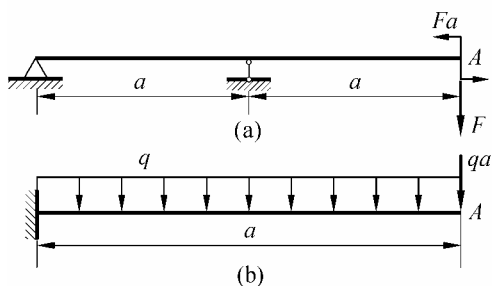


图 12-9

根据卡氏定理，得

$$\theta_C = \frac{1}{EI} \left[\int_0^a (Fx_1) \left(\frac{x_1}{a} \right) dx_1 + \int_0^a (Fx_2)(1) dx_2 \right] = \frac{5Fa^2}{6EI} \quad (\cup)$$

12-10 试用卡氏定理计算图示各梁横截面 A 的挠度 Δ_A 与转角 θ_A 。设弯曲刚度 EI 为常数。



题 12-10 图

(a) 解：令 $Fa = M_A$ ，由图 12-10a 易得

$$M(x) = M_A - Fx, \quad \frac{\partial M(x)}{\partial F} = -x, \quad \frac{\partial M(x)}{\partial M_A} = 1$$

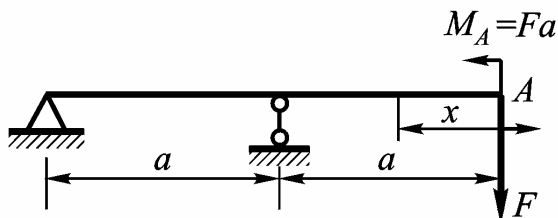


图 12-10(a)

注意到左半段梁上 $M = 0$ ，于是得

$$\Delta_A = \frac{1}{EI} \int_0^a (Fa - Fx)(-x) dx = -\frac{Fa^3}{6EI} \quad ()$$

$$\theta_A = \frac{1}{EI} \int_0^a (Fa - Fx)(1) dx = \frac{Fa^2}{2EI} \quad (\cup)$$

(b) 解：令 $qa = F$ ，并在 A 端附加一顺钟向的力偶矩 M_A ，自 A 向左取坐标 x ，有

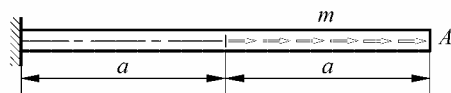
$$M(x) = -M_A - Fx - \frac{1}{2}qx^2, \quad \frac{\partial M(x)}{\partial F} = -x, \quad \frac{\partial M(x)}{\partial M_A} = -1$$

根据卡氏定理，得

$$\Delta_A = \frac{1}{EI} \int_0^a (-qax - \frac{1}{2}qx^2)(-x) dx = \frac{11qa^4}{24EI} \quad ()$$

$$\theta_A = \frac{1}{EI} \int_0^a (-qax - \frac{1}{2}qx^2)(-1) dx = \frac{2qa^3}{3EI} \quad (\cup)$$

12-12 图示圆截面轴，右半段承受集度为 m 的均布扭力矩作用。试用卡氏第二定理计算杆端截面 A 的扭转角。设扭转刚度 GI_p 为常数。



题 12-12 图

解：在 A 端附加一扭力矩 M_A ，自 A 向左取坐标 x_1 ，自轴中间截面向左取坐标 x_2 ，于是有

$$T(x_1) = M_A + mx_1, \quad T(x_2) = M_A + ma$$

及

$$\frac{\partial T(x_1)}{\partial M_A} = \frac{\partial T(x_2)}{\partial M_A} = 1$$

依据卡氏定理，得

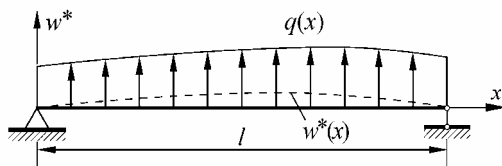
$$\varphi_A = \frac{1}{GI_p} \left[\int_0^a (mx_1)(1)dx_1 + \int_0^a (ma)(1)dx_2 \right] = \frac{3ma^2}{2GI_p}$$

12-14 图示简支梁，承受集度为 $q(x)$ 的分布载荷作用，现在，使梁发生横向虚位移

$w^*(x)$ ，该位移满足位移边界条件与变形连续条件，试证明：

$$\int_l w^*(x)q(x)dx = \int_l M(x)d\theta^*$$

即证明外载荷 $q(x)$ 在虚位移上所作之总虚功 W_e ，等于可能内力 $M(x)$ 在相应虚变形上所作之总虚功 W_i 。



题 12-14 图

解：应用下列微分关系

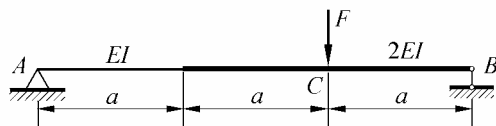
$$q(x) = \frac{dF_s}{dx}, \quad F_s(x) = \frac{dM}{dx}, \quad \theta^* = \frac{dw^*}{dx}$$

及分部积分公式，有

$$\begin{aligned} W_e &= \int_l w^*(x)q(x)dx = \int_0^l w^*(x) \cdot \frac{dF_s}{dx} dx = w^* F_s \Big|_0^l - \int_0^l F_s \cdot \frac{dw^*}{dx} dx \\ &= - \int_0^l \theta^* \frac{dM}{dx} dx = -\theta^* M \Big|_0^l + \int_0^l M(x) d\theta^* = \int_l M(x) d\theta^* = W_i \end{aligned}$$

12-15 图示阶梯形简支梁，承受载荷 F 作用。试用单位载荷法计算横截面 C 的挠度 w_C

与横截面 A 的转角 θ_A 。



题 12-15 图

解：设两种单位状态如下：

1. 令 $F = 1$ ；

2. 在截面 A 处假想加一顺时针力偶矩 $M_A = 1$ ，坐标示如图 12-15。

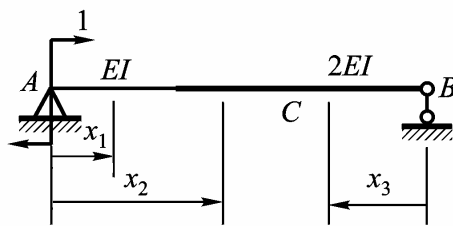


图 12-15

三种弯矩方程为

$$\begin{aligned}\bar{M}(x_1) &= \frac{1}{3}x_1, & \tilde{M}(x_1) &= 1 - \frac{1}{3a}x_1, & M(x_1) &= \frac{F}{3}x_1 \\ \bar{M}(x_2) &= \frac{1}{3}x_2, & \tilde{M}(x_2) &= 1 - \frac{1}{3a}x_2, & M(x_2) &= \frac{F}{3}x_2 \\ \bar{M}(x_3) &= \frac{2}{3}x_3, & \tilde{M}(x_3) &= \frac{1}{3a}x_3, & M(x_3) &= \frac{2F}{3}x_3\end{aligned}$$

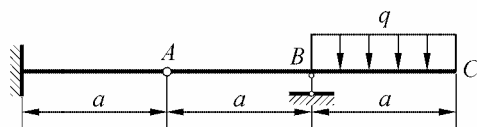
依据单位载荷法，有

$$\begin{aligned}\Delta_C &= \frac{1}{EI} \int_0^a \left(\frac{1}{3}x_1\right) \left(\frac{F}{3}x_1\right) dx_1 + \frac{1}{2EI} \int_a^{2a} \left(\frac{x_2}{3}\right) \left(\frac{F}{3}x_2\right) dx_2 + \frac{1}{2EI} \int_0^a \left(\frac{2}{3}x_3\right) \left(\frac{2F}{3}x_3\right) dx_3 \\ &= \frac{13Fa^3}{54EI} \quad (\downarrow)\end{aligned}$$

及

$$\begin{aligned}\theta_A &= \frac{1}{EI} \int_0^a \left(1 - \frac{x_1}{3a}\right) \left(\frac{F}{3}x_1\right) dx_1 + \frac{1}{2EI} \int_a^{2a} \left(1 - \frac{x_2}{3a}\right) \left(\frac{F}{3}x_2\right) dx_2 + \frac{1}{2EI} \int_0^a \left(\frac{x_3}{3a}\right) \left(\frac{2F}{3}x_3\right) dx_3 \\ &= \frac{31Fa^2}{108EI} \quad (\curvearrowright)\end{aligned}$$

12-16 图示含梁间铰的组合梁，外伸段承受均布载荷 q 作用。试用单位载荷法计算该铰链两侧横截面间的相对转角 $\bar{\theta}$ 。二梁各截面的弯曲刚度均为 EI 。



题 12-16 图

解：求 $\bar{\theta}$ 的单位状态及坐标取法示如图 12-16。

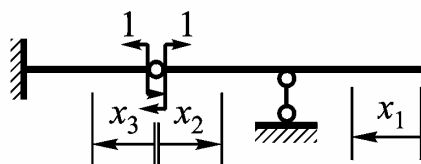


图 12-16

两种弯矩方程为

$$\overline{M}(x_1) = 0, \quad M(x_1) = -\frac{q}{2}x_1^2$$

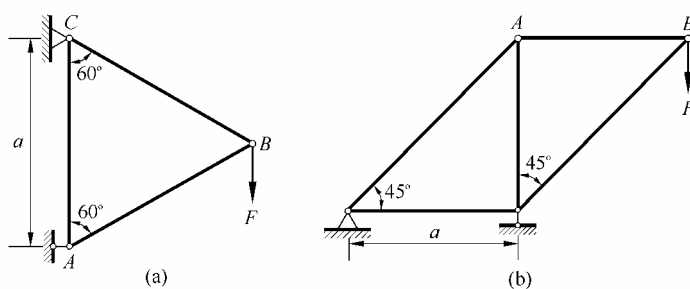
$$\overline{M}(x_2) = 1 - \frac{x_2}{a}, \quad M(x_2) = -\frac{qa}{2}x_2$$

$$\overline{M}(x_3) = 1 + \frac{x_3}{a}, \quad M(x_3) = \frac{qa}{2}x_3$$

由此得到

$$\bar{\theta} = \frac{1}{EI} \int_0^a (1 - \frac{x_2}{a}) (-\frac{qa}{2}x_2) dx_2 + \frac{1}{EI} \int_0^a (1 + \frac{x_3}{a}) (\frac{qa}{2}x_3) dx_3 = \frac{qa^3}{3EI} \quad (\cup \cup)$$

12-17 图示桁架，在节点 B 处承受载荷 F 作用。试用单位载荷法计算该节点的水平位移 Δ_B 与杆 AB 的转角 θ_{AB} 。各杆各截面的拉压刚度均为 EA 。



题 12-17 图

(a) 解：求 Δ_B 和 θ_{AB} 的单位状态分别示如图 12-17a (1) 和 a (2)。

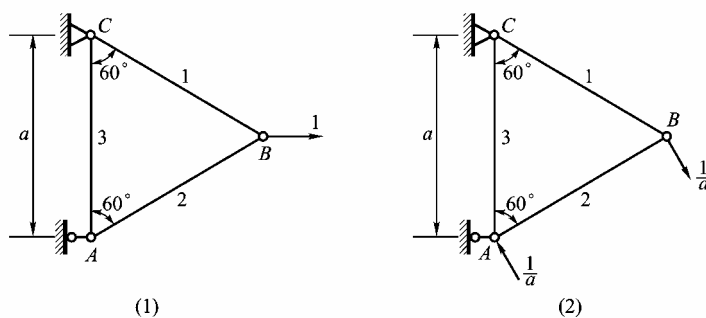


图 12-17a

求 Δ_B 的运算过程列表如下：

i	l_i	\overline{F}_{Ni}	F_{Ni}	$\overline{F}_{Ni} F_{Ni} l_i$
1	a	$\frac{\sqrt{3}}{3}$	F	$\frac{\sqrt{3}}{3} Fa$
2	a	$\frac{\sqrt{3}}{3}$	$-F$	$-\frac{\sqrt{3}}{3} Fa$

3	a	$-\frac{\sqrt{3}}{6}$	$\frac{F}{2}$	$-\frac{\sqrt{3}}{12}Fa$
Σ				$-\frac{\sqrt{3}}{12}Fa$

故有

$$\Delta_B = \sum_{i=1}^3 \frac{\bar{F}_{Ni} F_{Ni} l_i}{EA} = -\frac{\sqrt{3}Fa}{12EA} \quad ()$$

求 θ_{AB} 的运算过程列表如下：

i	l_i	\bar{F}_{Ni}	F_{Ni}	$\bar{F}_{Ni} F_{Ni} l_i$
1	a	$\frac{2}{\sqrt{3}a}$	F	$\frac{2\sqrt{3}}{3}F$
2	a	$-\frac{1}{\sqrt{3}a}$	$-F$	$\frac{\sqrt{3}}{3}F$
3	a	$-\frac{1}{\sqrt{3}a}$	$\frac{F}{2}$	$-\frac{\sqrt{3}}{6}F$
Σ				$\frac{5\sqrt{3}}{6}F$

故有

$$\theta_{AB} = \sum_{i=1}^3 \frac{\bar{F}_{Ni} F_{Ni} l_i}{EA} = \frac{5\sqrt{3}F}{6EA} \quad (\cup)$$

(b) 解：求 Δ_B 和 θ_{AB} 的单位状态分别示如图 12-17b (1) 和 b (2)。

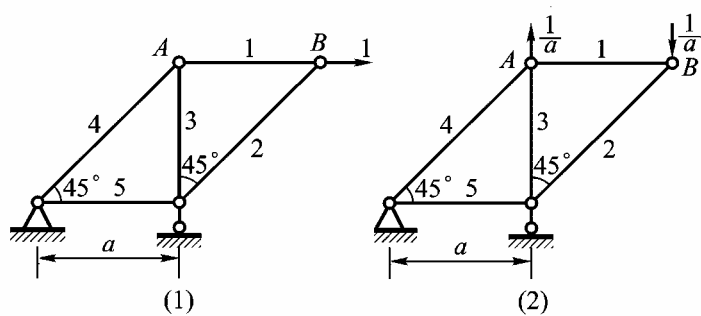


图 12-17b

求 Δ_B 的运算过程列表如下：

i	l_i	\bar{F}_{Ni}	F_{Ni}	$\bar{F}_{Ni} F_{Ni} l_i$
1	a	1	F	Fa

2	$\sqrt{2}a$	0	$-\sqrt{2}F$	0
3	a	-1	$-F$	Fa
4	$\sqrt{2}a$	$\sqrt{2}$	$\sqrt{2}F$	$2\sqrt{2}Fa$
5	a	0	$-F$	0
Σ				$(2+2\sqrt{2})Fa$

故有

$$\Delta_B = \sum_{i=1}^5 \frac{\bar{F}_{Ni} F_{Ni} l_i}{EA} = \frac{(2+2\sqrt{2})Fa}{EA} \quad ()$$

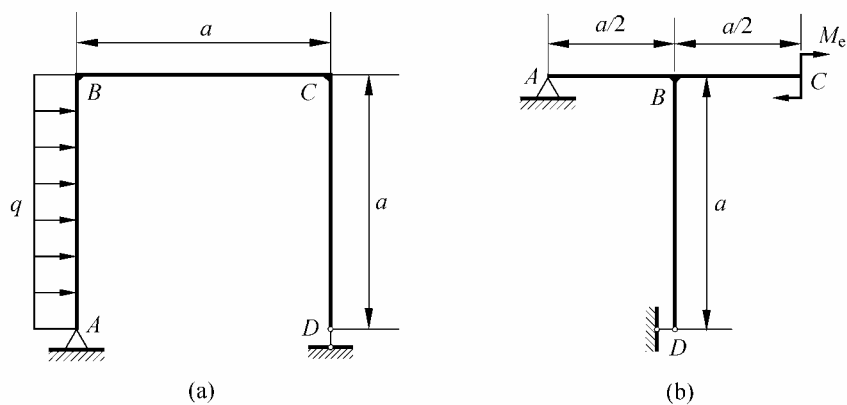
求 θ_{AB} 的运算过程列表如下：

i	l_i	\bar{F}_{Ni}	F_{Ni}	$\bar{F}_{Ni} F_{Ni} l_i$
1	a	$\frac{1}{a}$	F	F
2	$\sqrt{2}a$	$-\frac{\sqrt{2}}{a}$	$-\sqrt{2}F$	$2\sqrt{2}F$
3	a	0	$-F$	0
4	$\sqrt{2}a$	$\frac{\sqrt{2}}{a}$	$\sqrt{2}F$	$2\sqrt{2}F$
5	a	$-\frac{1}{a}$	$-F$	F
Σ				$(2+4\sqrt{2})F$

故有

$$\theta_{AB} = \sum_{i=1}^5 \frac{\bar{F}_{Ni} F_{Ni} l_i}{EA} = \frac{(2+4\sqrt{2})F}{EA} \quad (\cup)$$

12-18 图示刚架，弯曲刚度 EI 为常数。试用单位载荷法计算截面 A 的转角及截面 D 的水平或铅垂位移。



题 12-18 图

(a)解：求 θ_A 及 Δ_D 的单位状态分别示如图 12-18a (1) 和 (2)。

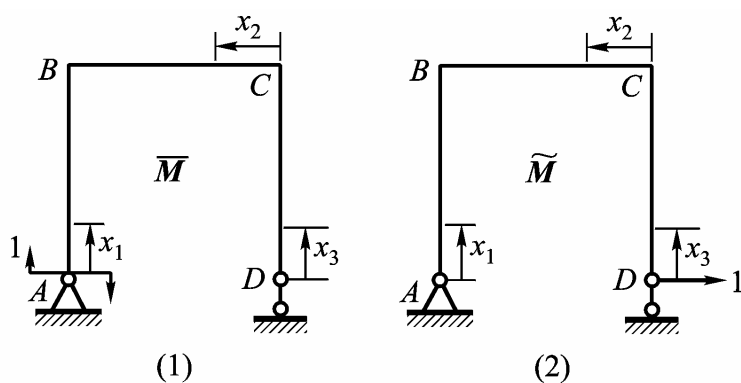


图 12-18a

弯矩方程依次为

$$\begin{aligned}\bar{M}(x_1) &= 1, & \tilde{M}(x_1) &= x_1, & M(x_1) &= qax_1 - \frac{q}{2}x_1^2 \\ \bar{M}(x_2) &= \frac{1}{a}x_2, & \tilde{M}(x_2) &= a, & M(x_2) &= \frac{qa}{2}x_2 \\ \bar{M}(x_3) &= 0, & \tilde{M}(x_3) &= x_3, & M(x_3) &= 0\end{aligned}$$

依据单位载荷法，有

$$\theta_A = \frac{1}{EI} \left[\int_0^a (1) \left(qax_1 - \frac{q}{2}x_1^2 \right) dx_1 + \int_0^a \left(\frac{x_2}{a} \right) \left(\frac{qax_2}{2} \right) dx_2 \right] = \frac{qa^3}{2EI} \quad (\cup)$$

及

$$\Delta_D = \frac{1}{EI} \left[\int_0^a (x_1) \left(qax_1 - \frac{q}{2}x_1^2 \right) dx_1 + \int_0^a (a) \left(\frac{qa}{2}x_2 \right) dx_2 \right] = \frac{11qa^4}{24EI} \quad ()$$

(b)解：求 θ_A 及 Δ_D 的单位状态如图 12-18b (1) 和 b (2) 所示。

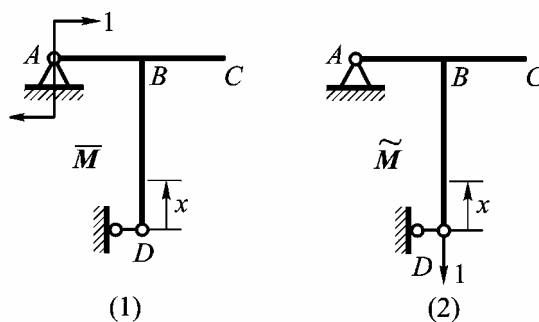


图 12-18b

弯矩方程为

$$\bar{M}(x) = \frac{1}{a}x, \quad \tilde{M}(x) = \frac{1}{2}x, \quad M(x) = \frac{M_e}{a}x$$

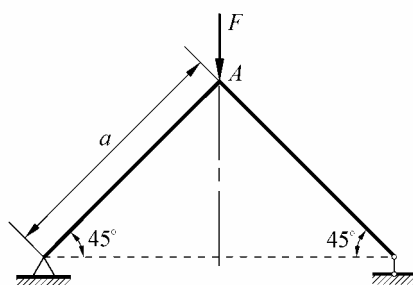
注意到 BC 段的 \bar{M} 和 \tilde{M} 均为 0, AB 段的 M 为 0, 于是得到

$$\theta_A = \frac{1}{EI} \int_0^a \left(\frac{x}{a}\right) \left(\frac{M_e}{a}x\right) dx = \frac{M_e a}{3EI} \quad (\cup)$$

$$\Delta_D = \frac{1}{EI} \int_0^a \left(\frac{x}{2}\right) \left(\frac{M_e}{a}x\right) dx = \frac{M_e a^2}{6EI} \quad ()$$

12-21 图示圆截面刚架, 横截面的直径为 d , 且 $a = 10d$ 。试按下述原则计算节点 A 的铅垂位移 Δ_A , 并进行比较。

- (1) 同时考虑弯矩与轴力的作用;
- (2) 只考虑弯矩的作用。



题 12-21 图

解: 令 $F=1$ 即为求 Δ_A 的单位状态, 坐标 x 自下顺轴线向上取。

(1) 考虑 M 与 F_N 同时作用

$$\bar{M}(x) = \frac{\sqrt{2}}{4}x, \quad M(x) = \frac{\sqrt{2}}{4}Fx$$

$$\bar{F}_N = \frac{\sqrt{2}}{4}, \quad F_N = \frac{\sqrt{2}}{4} F$$

利用对称性, 可得

$$\Delta_A = \frac{2}{EI} \int_0^a \left(\frac{\sqrt{2}}{4} x\right) \left(\frac{\sqrt{2}}{4} Fx\right) dx + \frac{2}{EA} \left(\frac{\sqrt{2}}{4}\right) \left(\frac{\sqrt{2}}{4} F\right) a = \frac{Fa^3}{12EI} + \frac{Fa}{4EA} = \frac{16030F}{3\pi Ed} \quad ()$$

(2) 只考虑 M 作用

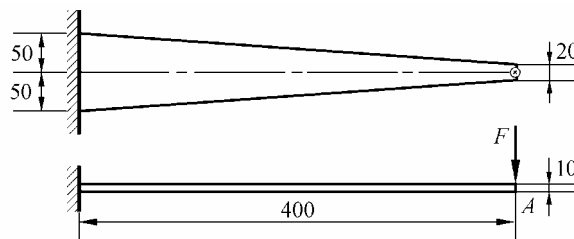
此时, 有

$$\Delta_A = \frac{Fa^3}{12EI} = \frac{16000F}{3\pi Ed} \quad ()$$

比较可知, 后者只比前者小 0.2%。

12-23 图示变截面梁, 自由端承受集中载荷 $F = 1\text{kN}$ 作用, 材料的弹性模量 $E = 200\text{GPa}$ 。

试用单位载荷法计算截面 A 的挠度。



题 12-23 图

解: 令 $F=1$ 即为求 Δ_A 的单位状态, 自 A 向左取坐标 x , 则有

$$\bar{M}(x) = -x, \quad M(x) = -Fx$$

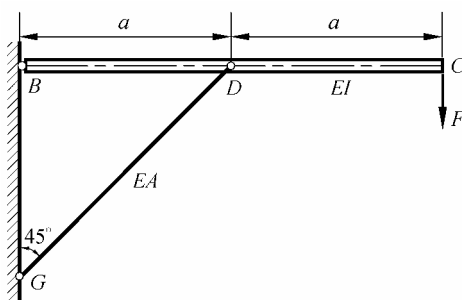
梁截面之惯性矩为

$$I_z(x) = \frac{b(x)h^3}{12} = \frac{0.010^3}{12} \times \left(0.020 + \frac{x}{5}\right) = \frac{1.000 \times 10^{-7}}{6} \times (0.100 + x)$$

由此得

$$\begin{aligned} \Delta_A &= \int_0^l \frac{\bar{M}(x)M(x)}{EI_z(x)} dx = \frac{6F}{10^{-7}E} \int_0^{0.400} \frac{x^2}{0.100 + x} dx = \frac{6 \times 1 \times 10^3 \times 0.0560943}{10^{-7} \times 200 \times 10^9} \text{m} \\ &= 0.01683 \text{m} = 16.83 \text{mm} \quad () \end{aligned}$$

12-24 图示结构, 在截面 C 处承受载荷 F 作用。试用单位载荷法计算该截面的铅垂位移 Δ_C 与转角 θ_C 。梁 BC 各截面的弯曲刚度均为 EI , 杆 DG 各截面的拉压刚度均为 EA 。



题 12-24 图

解：令 $F=1$ 作为求 δ_C 的单位状态；求 θ_C 的单位状态如图 12-24 所示，坐标取法亦示于图中。

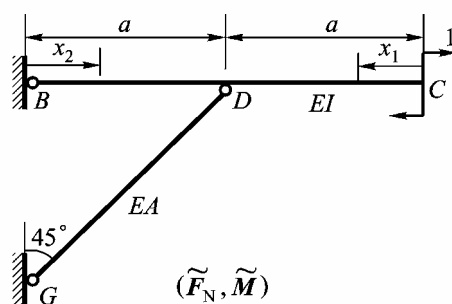


图 12-24

梁的弯矩方程为

$$\begin{aligned} \overline{M}(x_1) &= -x_1, & \tilde{M}(x_1) &= -1, & M(x_1) &= -Fx_1 \\ \overline{M}(x_2) &= -x_2, & \tilde{M}(x_2) &= -\frac{x_2}{a}, & M(x_2) &= -Fx_2 \end{aligned}$$

杆的轴力为

$$\overline{F}_N = -2\sqrt{2}, \quad \tilde{F}_N = -\frac{\sqrt{2}}{a}, \quad F_N = -2\sqrt{2}F$$

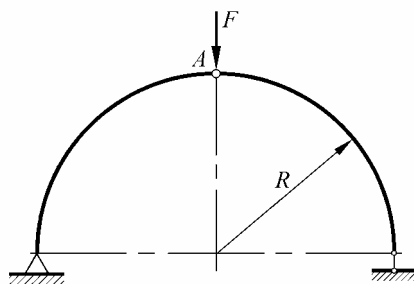
依据单位载荷法，得

$$\delta_C = \frac{2}{EI} \int_0^a (-x_1)(-Fx_1) dx_1 + \frac{1}{EA} (-2\sqrt{2}) (-2\sqrt{2}F)(\sqrt{2}a) = \frac{2Fa^3}{3EI} + \frac{8\sqrt{2}Fa}{EA} \quad ()$$

及

$$\begin{aligned} \theta_C &= \frac{1}{EI} \left[\int_0^a (-1)(-Fx_1) dx_1 + \int_0^a \left(-\frac{x_2}{a}\right)(-Fx_2) dx_2 \right] + \frac{1}{EA} \left(-\frac{\sqrt{2}}{a}\right) (-2\sqrt{2}F)(\sqrt{2}a) \\ &= \frac{5Fa^2}{6EI} + \frac{4\sqrt{2}F}{EA} \quad (\cup) \end{aligned}$$

12-26 图示结构，在铰链 A 处承受载荷 F 作用。试用单位载荷法计算该铰链两侧横截面间的相对转角 $\bar{\theta}$ 。各曲杆各截面的弯曲刚度均为 EI 。



题 12-26 图

解：求 $\bar{\theta}$ 的单位状态如图 12-26 所示。

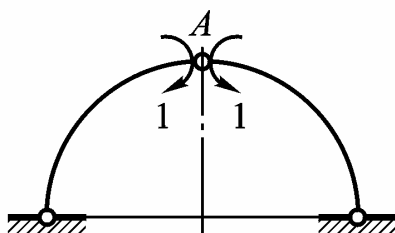


图 12-26

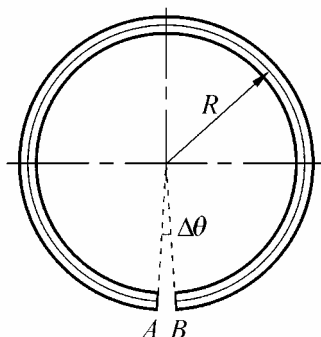
φ 自 A 处量起，弯矩方程为

$$\bar{M}(\varphi) = \cos \varphi, \quad M(\varphi) = \frac{FR}{2} (\sin \varphi + \cos \varphi - 1)$$

注意到左右对称，可得

$$\begin{aligned} \bar{\theta} &= \frac{2}{EI} \int_0^{\pi/2} (\cos \varphi) \left[\frac{FR}{2} (\sin \varphi + \cos \varphi - 1) \right] R d\varphi \\ &= \frac{FR^2}{EI} \int_0^{\pi/2} (\sin \varphi \cos \varphi + \cos^2 \varphi - \cos \varphi) d\varphi = \frac{(\pi - 2)FR^2}{4EI} \quad (\cup \cup) \end{aligned}$$

12-28 图示圆弧形小曲率杆，横截面 A 与 B 间存在一夹角为 $\Delta\theta$ 的微小缝隙。试问在横截面 A 与 B 上需加何种外力，才能使该二截面恰好密合。设弯曲刚度 EI 为常数。



题 12-28 图

解：设在 A 、 B 面上需加一对力偶矩 M_e 及一对力 F 后可使二截面恰好密合，现确定 M_e 及 F 之值。载荷状态及求 $\theta_{A/B}$ 、 $\Delta_{A/B}$ 的单位状态分别示如图 11-28 (a)，(b) 和 (c)。

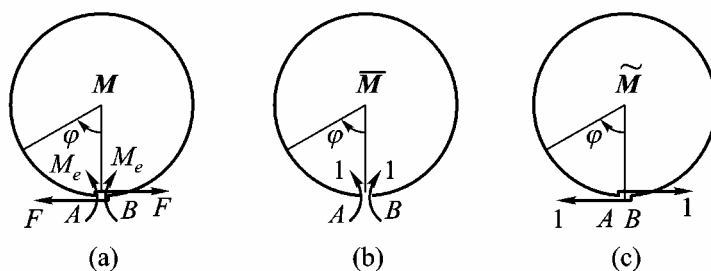


图 12-28

弯矩方程依次为

$$M(\varphi) = M_e + FR(1 - \cos\varphi), \quad \bar{M}(\varphi) = 1, \quad \tilde{M}(\varphi) = R(1 - \cos\varphi)$$

根据单位载荷法，有

$$\theta_{A/B} = \frac{2}{EI} \int_0^\pi (1) [M_e + FR(1 - \cos\varphi)] R d\varphi = \frac{2\pi R}{EI} (M_e + FR)$$

$$\Delta_{A/B} = \frac{2}{EI} \int_0^\pi [R(1 - \cos\varphi)] [M_e + FR(1 - \cos\varphi)] R d\varphi = \frac{2\pi R^2}{EI} (M_e + \frac{3}{2}FR)$$

根据题意要求，应有

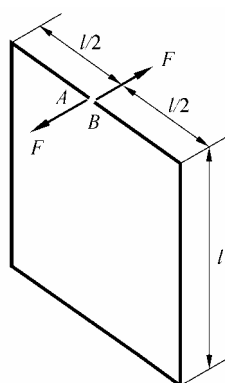
$$\theta_{A/B} = \Delta\theta, \quad \Delta_{A/B} = R \cdot \Delta\theta$$

由此得

$$F = 0, \quad M_e = \frac{EI}{2\pi R} \Delta\theta$$

结论：加一对矩为 $M_e = EI\Delta\theta/(2\pi R)$ 的力偶，可使缝隙处该二截面恰好密合。

12-29 图示开口平面刚架，在截面 A 与 B 处作用一对与刚架平面垂直的集中力 F。试用单位载荷法计算该二截面沿载荷作用方向的相对线位移 $\Delta_{A/B}$ 。弯曲刚度 EI_y 与 EI_z 以及扭转刚度 GI_t 均为常数，且 $I_y = I_z = I$ 。



题 12-29 图

解：求 $\Delta_{A/B}$ 的单位状态及路径分段坐标示如图 12-29。

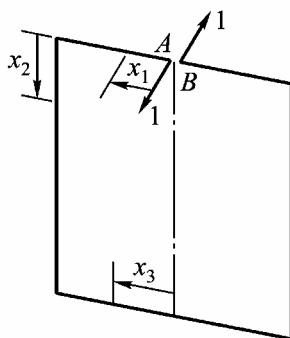


图 12-29

载荷状态及单位状态的弯矩方程依次为

$$M(x_1) = -Fx_1, \quad \bar{M}(x_1) = -x_1$$

$$M(x_2) = Fx_2, \quad \bar{M}(x_2) = x_2$$

$$M(x_3) = Fx_3, \quad \bar{M}(x_3) = x_3$$

两种状态的扭矩方程依次为

$$T(x_2) = -\frac{Fl}{2}, \quad \bar{T}(x_2) = -\frac{l}{2}$$

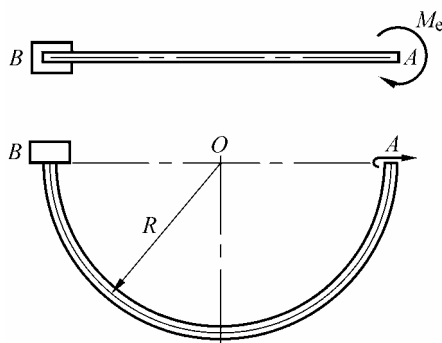
$$T(x_3) = -Fl, \quad \bar{T}(x_3) = -l$$

根据单位载荷法，并据 $I_y = I_z = I$ ，可得

$$\begin{aligned} \Delta_{A/B} &= 2 \left[\frac{1}{EI} \int_0^{l/2} Fx_1^2 dx_1 + \frac{1}{EI} \int_0^l Fx_2^2 dx_2 + \frac{1}{GI_t} \int_0^l \frac{Fl^2}{4} dx_2 + \frac{1}{EI} \int_0^{l/2} Fx_3^2 dx_3 + \frac{1}{GI_t} \int_0^{l/2} Fl^2 dx_3 \right] \\ &= \frac{5Fl^3}{6EI} + \frac{3Fl^3}{2GI_t} \quad (\swarrow \nearrow) \end{aligned}$$

12-30 图示圆弧形小曲率杆，承受矩为 M_e 的力偶作用。试用单位载荷法计算截面 A 的

扭转角 φ_A 与铅垂位移 Δ_A 。弯曲刚度 EI 与扭转刚度 GI_t 均为常数。



题 12-30 图

解：求 φ_A 和 Δ_A 的单位状态俯视图如图 12-30a 和 b 所示。

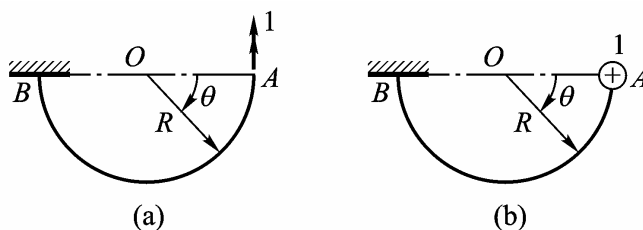


图 12-30

求 φ_A 的弯矩、扭矩方程依次为

$$\bar{M}(\theta) = -\sin\theta, \quad M(\theta) = -M_e \sin\theta$$

$$\bar{T}(\theta) = \cos\theta, \quad T(\theta) = M_e \cos\theta$$

由此得

$$\varphi_A = \frac{1}{EI} \int_0^\pi M_e \sin^2 \theta R d\theta + \frac{1}{GI_t} \int_0^\pi M_e \cos^2 \theta R d\theta = \frac{\pi M_e R}{2EI} + \frac{\pi M_e R}{2GI_t} \quad (\circ)$$

求 Δ_A 的单位状态的弯矩，扭矩方程依次为

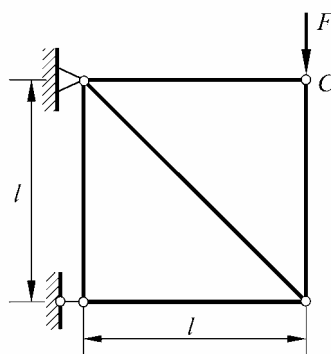
$$\tilde{M}(\theta) = -R \sin\theta, \quad \tilde{T}(\theta) = -R(1 - \cos\theta)$$

由此得

$$\Delta_A = \frac{1}{EI} \int_0^\pi M_e R \sin^2 \theta R d\theta + \frac{1}{GI_t} \int_0^\pi M_e R (\cos^2 \theta - \cos \theta) R d\theta = \frac{\pi M_e R^2}{2EI} + \frac{\pi M_e R^2}{2GI_t} \quad ()$$

12-31 图示桁架，在节点 C 承受载荷 F 作用。试用单位载荷法计算该节点的铅垂位移 Δ_y

与水平位移 Δ_x 。各杆的材料相同，应力-应变关系呈非线性，拉伸时为 $\sigma = c\sqrt{\varepsilon}$ ，压缩时亦同，其中 c 为已知常数。各杆的横截面面积均为 A。



题 12-31 图

解：1. 令 $F=1$ 作为求 y 的单位状态；求 x 的单位状态及各杆编号示如图 12-31。

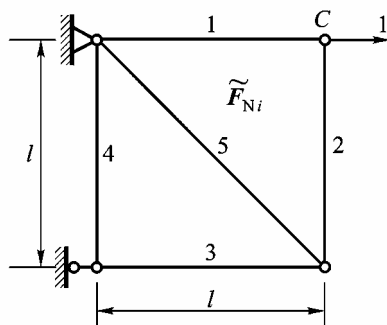


图 12-31

2. 内力计算结果及杆长列于下表：

i	\bar{F}_{Ni}	\tilde{F}_{Ni}	F_{Ni}	l_i
1	0	1	0	l
2	-1	0	$-F$	l
3	-1	0	$-F$	l
4	0	0	0	l
5	$\sqrt{2}$	0	$\sqrt{2}F$	$\sqrt{2}l$

3. 建立 Δl_i 与 F_{Ni} 的关系

根据

$$\sigma = c\sqrt{\varepsilon} \quad (\text{压缩时为 } \sigma = -c\sqrt{-\varepsilon})$$

得

$$\sigma^2 = c^2 \varepsilon$$

或写成

$$\varepsilon = \frac{\Delta l}{l} = \frac{\sigma^2}{c^2} = \frac{F_N^2}{A^2 c^2}$$

由此得

$$\Delta l = \frac{F_N^2 l}{A^2 c^2}, \quad \Delta l_i = \pm \frac{F_{Ni}^2 l_i}{A^2 c^2} \quad (\text{拉取“+”号, 压取“-”号})$$

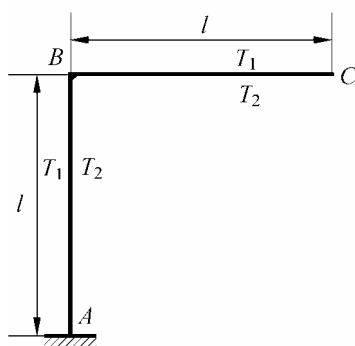
4. 求位移

根据单位载荷法及以上内力结果，得

$$\Delta_y = \sum_{i=1}^5 \bar{F}_{Ni} \Delta l_i = \frac{6F^2 l}{A^2 c^2} \quad ()$$

$$\Delta_x = \sum_{i=1}^5 \tilde{F}_{Ni} \Delta l_i = 0$$

12-33 图示等截面刚架，杆 AB 的左侧及杆 BC 的顶面的温度升高 T_1 ，另一侧的温度升高 T_2 ，并沿截面高度线性变化。试用单位载荷法计算截面 C 的铅垂位移 Δ_y 、水平位移 Δ_x 与转角 θ_C 。横截面的高度为 h ，材料的线膨胀系数为 α_l 。



题 12-33 图

解：1. 求 $d\theta$ 和 $d\delta$

设 $T_2 > T_1$ ，由题 12-32 之解可知，

$$d\theta = \frac{\alpha_l (T_2 - T_1) dx}{h}, \quad d\delta = \frac{\alpha_l (T_2 + T_1) dx}{2}$$

2. 求截面 C 的位移

求 Δ_y ， Δ_x 和 θ_C 的单位状态依次示如图 12-33a, b 和 c。

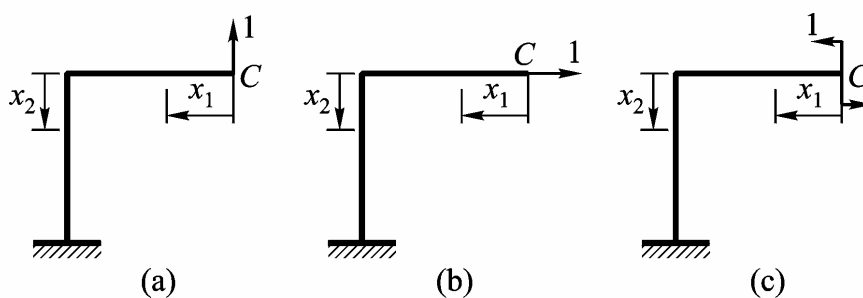


图 12-33

由图 a 可知，

$$\bar{M}(x_1) = x_1, \quad \bar{M}(x_2) = l, \quad \bar{F}_{N2} = 1$$

由此得

$$\begin{aligned}\Delta_y &= \int_0^l (x_1) \frac{\alpha_l (T_2 - T_1)}{h} dx_1 + \int_0^l (l) \frac{\alpha_l (T_2 - T_1)}{h} dx_2 + \int_0^l (1) \frac{\alpha_l (T_2 + T_1)}{2} dx_2 \\ &= \frac{3l^2 \alpha_l (T_2 - T_1)}{2h} + \frac{l \alpha_l (T_2 + T_1)}{2} \quad ()\end{aligned}$$

由图 b 可知，

$$\bar{F}_N = 1, \quad \bar{M}(x_2) = -x_2$$

由此得

$$\Delta_x = \int_0^l (1) \frac{\alpha_l (T_2 + T_1)}{2} dx_1 + \int_0^l (-x_2) \frac{\alpha_l (T_2 - T_1)}{h} dx_2 = \frac{l \alpha_l (T_2 + T_1)}{2} - \frac{l^2 \alpha_l (T_2 - T_1)}{2h} \quad ()$$

由图 c 可知，

$$\bar{M}(x_1) = 1, \quad \bar{M}(x_2) = 1$$

由此得

$$\theta_C = \int_0^l (1) \frac{\alpha_l (T_2 - T_1)}{h} dx_1 + \int_0^l (1) \frac{\alpha_l (T_2 - T_1)}{h} dx_2 = \frac{2l \alpha_l (T_2 - T_1)}{h} \quad (5)$$

若 $T_2 < T_1$ ，各位移均反向。

12-34 题 12-17 所述桁架，设杆 AB 的温度升高 ΔT 。试计算由此引起的节点 B 的铅垂位移。材料的线膨胀系数为 α_l 。

(a) 解：由图 12-34a 可得

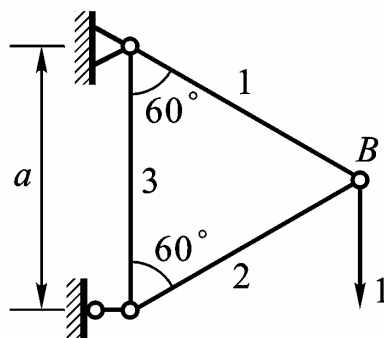


图 12-34a

i	\bar{F}_{Ni}	Δl_i	$\bar{F}_{Ni} \Delta l_i$
1	1	0	0
2	-1	$\alpha_l a \Delta T$	$-\alpha_l a \Delta T$
3	1/2	0	0

Σ		$-\alpha_l a \Delta T$
----------	--	------------------------

于是有

$$\Delta_B = \sum_{i=1}^3 \overline{F}_{Ni} \Delta l_i = -\alpha_l a \Delta T \quad ()$$

(a) 解：由图 12-34b 可得

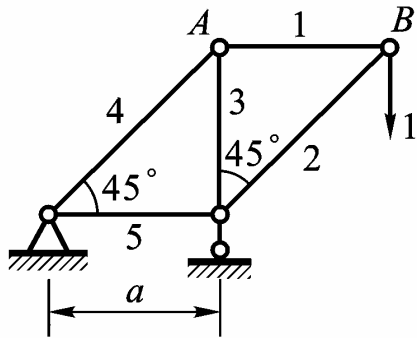


图 12-34b

i	\overline{F}_{Ni}	Δl_i	$\overline{F}_{Ni} \Delta l_i$
1	1	$\alpha_l a \Delta T$	$\alpha_l a \Delta T$
2	$-\sqrt{2}$	0	0
3	-1	0	0
4	$\sqrt{2}$	0	0
5	-1	0	0
Σ			$\alpha_l a \Delta T$

于是有

$$\Delta_B = \sum_{i=1}^5 \overline{F}_{Ni} \Delta l_i = \alpha_l a \Delta T \quad ()$$

12-36 试用图乘法解题 12-15。

解：由图 12-36 可得

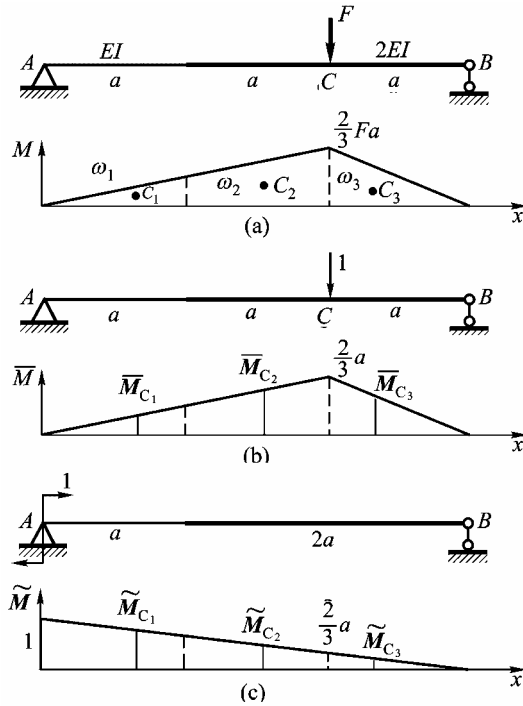


图 12-36

$$\omega_1 = \frac{1}{6} Fa^2, \quad \overline{M}_{C_1} = \frac{2}{9} a$$

$$\omega_2 = \frac{1}{2} Fa^2, \quad \overline{M}_{C_2} = \frac{14}{27} a$$

$$\omega_3 = \frac{1}{3} Fa^2, \quad \overline{M}_{C_3} = \frac{4}{9} a$$

$$\tilde{M}_{C_1} = \frac{2}{9}, \quad \tilde{M}_{C_2} = \frac{13}{27}, \quad \tilde{M}_{C_3} = \frac{7}{9}$$

于是得到

$$\theta_C = \frac{1}{EI} \left(\frac{Fa^2}{6} \right) \left(\frac{2}{9} a \right) + \frac{1}{2EI} \left(\frac{Fa^2}{2} \right) \left(\frac{14}{27} a \right) + \frac{1}{2EI} \left(\frac{Fa^2}{3} \right) \left(\frac{4}{9} a \right) = \frac{13Fa^3}{54EI} \quad ()$$

及

$$\theta_A = \frac{1}{EI} \left(\frac{Fa^2}{6} \right) \left(\frac{2}{9} \right) + \frac{1}{2EI} \left(\frac{Fa^2}{2} \right) \left(\frac{13}{27} \right) + \frac{1}{2EI} \left(\frac{Fa^2}{3} \right) \left(\frac{7}{9} \right) = \frac{31Fa^2}{108EI} \quad (\cup)$$

12-38 试用图乘法解题 12-11。

解：由图 12-38 可得

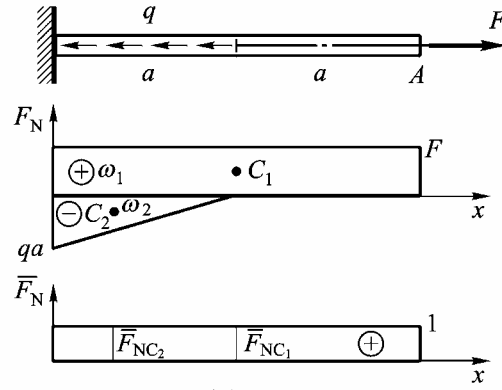


图 12-38

$$\omega_1 = 2Fa, \quad \bar{F}_{NC_1} = 1$$

$$\omega_2 = -\frac{qa^2}{2}, \quad \bar{F}_{NC_2} = 1$$

于是有

$$\Delta_A = \frac{1}{EA} \left[(2Fa)(1) + \left(-\frac{qa^2}{2}\right)(1) \right] = \frac{(4F - qa)a}{2EA}$$

12-40 试用图乘法解题 12-22。

解：由图 12-40 可得

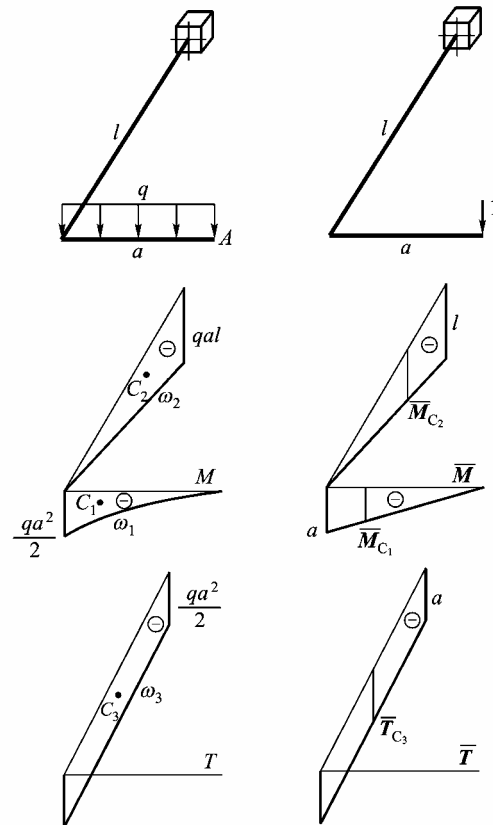


图 12-40

$$\omega_1 = -\frac{qa^3}{6}, \quad \overline{M}_{C_1} = -\frac{3}{4}a$$

$$\omega_2 = -\frac{qal^2}{2}, \quad \overline{M}_{C_2} = -\frac{2l}{3}$$

$$\omega_3 = -\frac{qa^2l}{2}, \quad \overline{T}_{C_3} = -a$$

于是有

$$\begin{aligned} \Delta_A &= \frac{1}{EI} \left(-\frac{qa^3}{6} \right) \left(-\frac{3a}{4} \right) + \frac{1}{EI} \left(-\frac{qal^2}{2} \right) \left(-\frac{2l}{3} \right) + \frac{1}{GI_t} \left(-\frac{qa^2l}{2} \right) (-a) \\ &= \frac{qa^4}{8EI} + \frac{qal^3}{3EI} + \frac{qa^3l}{2GI_t} \quad (\quad) \end{aligned}$$